

総説：MRI は CT を超えたか？

肝胆膵

蒲田 敏文, 角谷 真澄, 松井 修

金沢大学医学部放射線科

はじめに

腹部特に肝胆膵疾患の診断に対する MRI の有用性は既にある程度確立してきている。しかしながら最近のヘリカル CT の普及により、CT の性能も向上してきている。実際 CT の方が時間分解能、空間分解能とも MRI よりも優れており、実際の臨床の場では CT を第一選択としている施設が多いと思われる。実際我々の施設でも 2 年前までは肝胆膵の診断にはやはり CT を省略できないという認識があった。しかし、約 2 年前に最新の MRI 装置が導入されてからは、我々の施設ではその認識が変わってきている。すなわち最新式の MRI があれば、肝胆膵領域に関しては CT を上回る診断性能があり、MRI を第一選択としてもいいのではないかという認識に代わってきている。今回第 26 回日本磁気共鳴医学会大会で MRI は CT を超えたか？ というテーマのシンポジウムが開かれた。筆者も肝の領域に関して MRI と CT を比較し、現状での両検査の使い分けについて発表した。今回はそのときのシンポジウムの発表の論旨を基にして、現時点での MRI と CT の検査法の位置付けについて肝を中心に胆道系並びに膵を含めて論じたい。なおここで論じる筆者の考え方は、最新式の高磁場 MR 装置を十分な時間的な余裕をもって肝胆膵の疾患に利用できる立場にある大学の施設としてのもので

あり、決して一般論を述べている訳ではないことをあらかじめ断っておきたい。

MRI の撮像方法

MRI は CT と比べて撮像方法が数多く存在し、どのパルスシーケンスを使うかは施設によってかなり異なるのが現状である。詳細な診断を効率よく行うためには撮像方法の選択は非常に重要な要素の一つである。表 1 に金沢大学医学部放射線科における肝の MRI の撮像法を示す。肝の MRI は T_1 強調像、 T_2 強調像並びにダイナミック MRI を基本にしている。

1) T_2 強調像

T_2 強調像としては脂肪抑制法と呼吸同期法

表 1. 肝臓の MRI 検査
(金沢大学医学部放射線科)

1. Coronal SSFSE(single shot fast spin echo)
 T_2 WI
2. Axial FSE- T_2 WI(fat saturation) TE=90～110 ms
3. Axial SSFSE- T_2 WI
4. Axial CSE- T_1 WI(SE500/9)
5. SPGR- T_1 WI(TR150/FA90°) in phase(TE=4.4 ms) and out of phase (TE=2.2)
6. Dynamic MRI(SPGR150/1.6/90°, fat saturation)
7. Post Gd CSE- T_1 WI or post Gd SPGR- T_1 WI

CSE : conventional spin echo

キーワード MRI, CT, liver, biliary system, pancreas

を併用した高速スピンドルエコー (fast spin echo, FSE) を使用している。FSE 法は従来のスピンドルエコー法による T_2 強調像に比べて約 1/4 の短時間で T_2 強調像が撮像できる。FSE 法の欠点は脂肪の信号が上昇する点と MTC 効果のために肝内の充実性腫瘍のコントラストが低下する点である^{1),2)}。しかし脂肪抑制法を併用することでコントラストの改善が得られる³⁾。また呼吸同期を併用することで腹壁や胆嚢からのアーチファクトも軽減できる。呼吸停止下の FSE 法はより短時間でアーチファクトの少ない T_2 強調像が得られるが、コントラスト分解能の点では呼吸同期、脂肪抑制併用 FSE に劣るので、肝の充実性腫瘍の診断には用いていない。Single-shot fast spin echo (SSFSE) 法は half Fourier 法を用いた高速スピンドルエコー法である。Siemens 社では HASTE (half-Fourier single-shot turbo spin echo) とも言われている⁴⁾。SSFSE あるいは HASTE 法は呼吸停止ないし呼吸同期下で 1 スライス 1 秒程度の短時間で T_2 強調像が得られる画期的な撮像法である。しかしこの方法では肝内外の胆管や囊胞や血管腫といった水分量の豊富な構造ないし病変の描出は非常に良好であるが、充実性肝腫瘍の検出は FSE 法より劣っている。我々は肝では最初の位置決めのスキャンと血管腫や囊胞性病変の診断に対して主にこの方法を利用している。また肝内腫瘍性病変の症例では解剖学的位置関係の把握のために矢状断像、冠状断像、斜位像等を本法で追加撮像することもある。

2) T_1 強調像

T_1 強調像は我々はスピンドルエコー法 (CSE) でいまだに撮像しているが、多くの施設では gradient echo 法 (SPGR, FLASH) で呼吸停止下に撮像するのが主流である。Gradient echo 法の場合には脂肪性腫瘍ないし脂肪肝の診断を明確にするという点から、in phase 画像と opposed phase 画像の撮像が必要である^{5),6)}。

1.5 T の高磁場装置では in phase は TE=4.4 ms を opposed phase 画像は TE=2.2 ms を選択している。

3) ダイナミック MRI

ダイナミック MRI では gradient echo (SPGR) 法が選択される。TE は最小の値(1.6 ms) を選択している。この TE の値では opposed phase の画像となるので脂肪を含む組織は造影剤投与により信号が低下する現象 (paradoxical suppression) が生じて、正確な vascularity の評価ができる可能性がある⁷⁾。したがって、我々はダイナミック MRI では脂肪抑制法を併用している。

肝腫瘍性病変の MRI 診断 (CT と比較して)

肝の腫瘍性病変を中心に MRI の有用性を CT と比較して論じる。

1) 肝囊胞

肝囊胞は 1 cm 以上の比較的大きなものは CT で容易に診断可能である。しかし 1 cm 以下の小さな囊胞は CT では partial volume phenomenon のために明瞭な水濃度を示さず、充実性腫瘍との鑑別が困難な症例がある (図 1)。MRI 特に FSE 法の T_2 強調像や SSFSE 法の T_2 強調像では囊胞は著明な高信号となり、容易に検出可能である。ただし MR 画像のみでは肝血管腫と類似するので、囊胞と断定するには造影 MRI が必要である。また比較的小量の脂肪を含有する肝細胞結節 (肝細胞癌、腺腫様過形成など) では CT 上はかなり濃度が低下するが、脂肪の吸収値を示さないで一見肝囊胞と誤認してしまう恐れもある (図 8)。MRI では脂肪を含む腫瘍は T_1 強調像で高信号を示し、脂肪抑制法では信号が低下する。また in phase 画像並びに opposed phase 画像を撮像すれば、少量の脂肪の存在も証明可能である。また、ときに肝囊胞内に出血を合併し、

1999 年 3 月 11 日受理

別刷請求先 〒920-8641 石川県金沢市宝町 13-1 金沢大学医学部放射線科 蒲田敏文

CT, US などでは充実性囊胞との鑑別を要する症例も存在する。一方、MRI では比較的容易に囊胞内出血の診断が可能である（図 2）。したがって、肝囊胞の診断は MRI があれば CT は不要と考えられる。

2) 肝血管腫

肝血管腫は典型的な症例ではダイナミック CT の早期相より腫瘍辺縁部に濃染を認め（peripheral enhancement），後期相から遅延相で内部に向かってしみだすように濃染（fill-in）が認められる⁸⁾。しかしながら fill-in の遅いタ

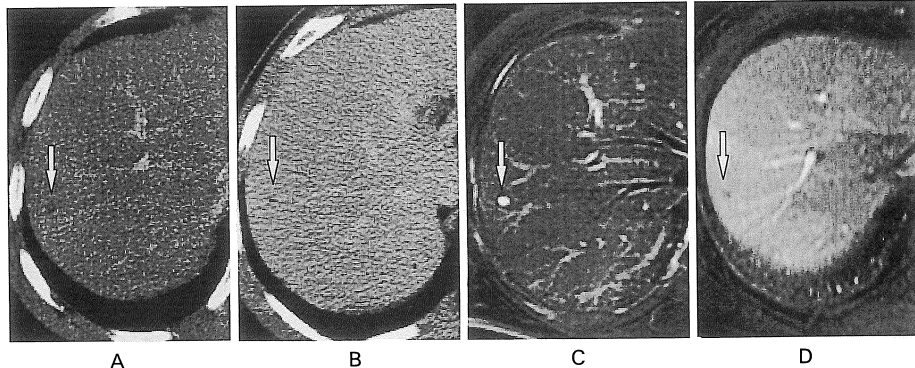


図 1. 小肝囊胞（慢性肝炎症例）

ダイナミック CT 早期相 (A) および後期相 (B) で右葉 S8 に乏血性の結節が認められる（矢印）。CT 上は高分化肝細胞癌が疑われた。MRI では T₂ 強調像 (C) で著明な高信号を示し、ダイナミック MRI (D) で濃染されず、小肝囊胞と診断した。CT では partial volume phenomenon のため小さな囊胞を充実性腫瘍と誤認する危険があるが、MRI では容易に囊胞と診断できる。

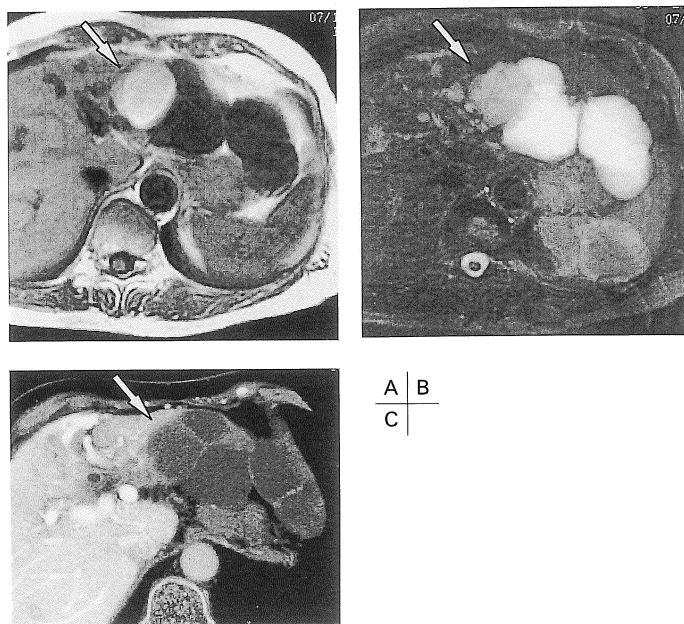


図 2. 出血性肝囊胞

肝左葉の多発性囊胞の一つが T₁ 強調像 (A), T₂ 強調像 (B) で著明な高信号を示し、出血性囊胞と診断できる。造影 CT (C) では出血の診断は困難である。

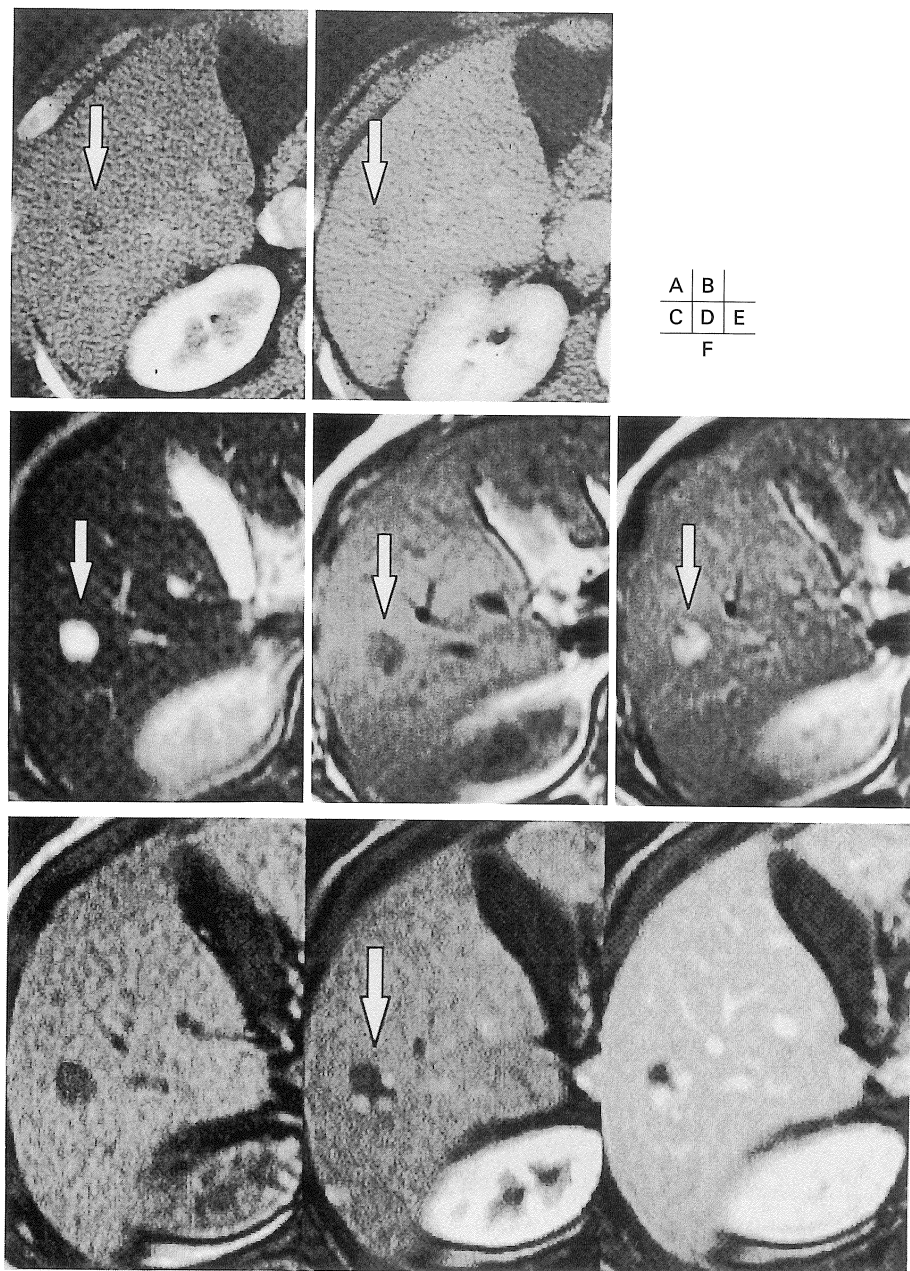


図3. 肝血管腫 (C型慢性肝炎例)

C型慢性肝炎のスクリーニングUSにて肝S6に高エコーの結節が指摘された。ダイナミックCT早期相(A)および後期相(B)では結節は乏血性であり、高分化型肝細胞癌が疑われた。しかしながらMRIではT₂強調像(SE 2500/80)(C)で著明な高信号、T₁強調像(SE 500/9)(D)で低信号を示し、ダイナミックMRI(F)では結節周囲からの中心に向かう濃染(fill-in)を認める。造影後のT₁強調像(E)ではほぼ全体が濃染してきており、典型的な血管腫の所見である(矢印)。

イプの血管腫では造影後期相でも CT では濃染が見られず、他の乏血性充実性腫瘍や囊胞と誤認する危険性がある（図 3）。また造影早期から全体がよく濃染されるタイプの血管腫ではほかの多血性の肝腫瘍との鑑別（肝細胞癌、多血性肝転移等）が問題となる⁹⁾。MRI では T₂ 強調像 (FSE, SSFSE) では著明な高信号となり、他の充実性肝腫瘍と容易に区別が可能である（図 4）^{10),11)}。また造影剤に対しても MRI は CT と比べて鋭敏であるので、ダイナミック MRI と造影後 T₁ 強調像の組み合わせにより濃染の有無を詳細に検討できる利点がある。したがって、血管腫の診断もほぼ MRI のみで可能であり、CT は必要がないと思われる。ただし、MRI による肝血管腫の診断で注意すべき点は、粘液産生の豊富な消化管からの肝転移や胆管細胞癌あるいは多血性の肝転移

(islet cell tumor, carcinoid など)との鑑別である。これらの腫瘍は T₂ 強調像で著明な高信号を示し、血管腫に類似した画像所見を示すことがある¹²⁾。したがって、ダイナミック MRI の早期相での濃染のパターンを詳細に検討して鑑別すべきである（肝転移、胆管癌では早期相ではリング状濃染を示す頻度が高い）。

3) 肝細胞癌

肝細胞癌の診断に対する MRI の利点はその高い濃度分解能にある。特に多血性肝細胞癌の場合には、ダイナミック MRI はダイナミック CT と比較して有意に高い検出率を示す（表 2、図 5）¹³⁾。また T₁ 強調像、T₂ 強調像並びにダイナミック MRI の所見を組み合わせることで肝細胞癌の組織学的な悪性度をおおよそ推定できる利点がある。すなわち、腺腫様過形成や高分化型肝細胞癌は T₁ 強調像では高信号を示

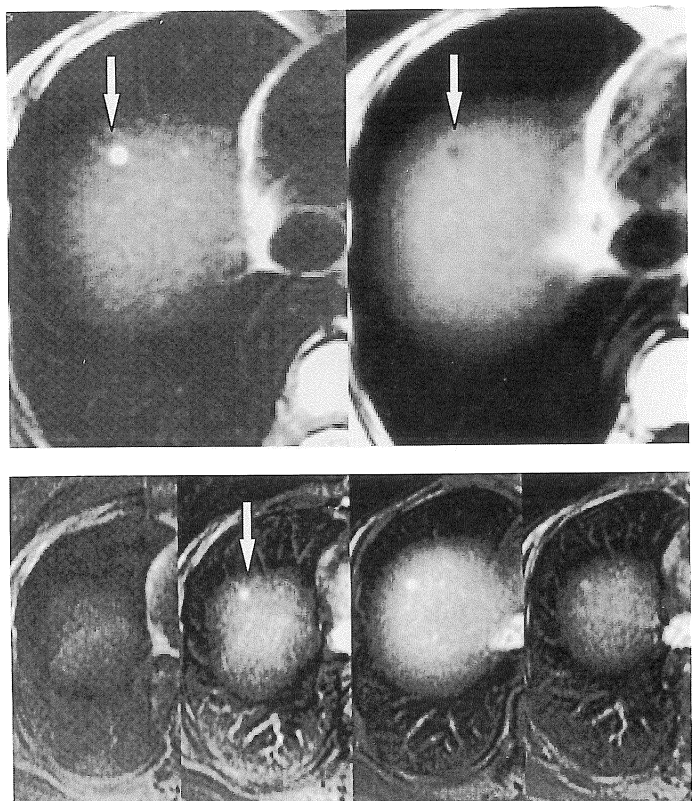


図 4. 肝血管腫

肝右葉 S8 の 1 cm 以下の小結節は T₂ 強調像 (A) で著明な高信号、T₁ 強調像 (B) で低信号を呈する（矢印）。ダイナミック MRI (C) では早期相より全体が濃染し、後期相まで濃染が持続している。ダイナミック MRI のみでは肝細胞癌との鑑別が問題となるが、T₂ 強調像の信号強度から血管腫と診断できる。CT ではこの結節は描出されていない。

A | B
—
C

表 2. Dynamic MRI と Dynamic CT の多血性肝細胞癌の検出能の比較

Size(mm)	n	Dynamic MRI	Dynamic CT
-10	51	45(88%)	13(26%)
11-20	17	16(94%)	12(71%)
21-30	11	11(100%)	10(91%)
31-	9	9(100%)	9(100%)
(total)	88	81(92%)	44(50%)

(McNemar test, p<0.0001; 95% confidence interval, 0.49-0.76)

し、T₂強調像では低信号ないし等信号を示す頻度が高い¹⁴⁾。またダイナミックMRIの動脈優位相では濃染されず、門脈優位相で周囲肝よりは低信号に描出される（図6）。古典的肝細胞癌ではT₁強調像は低、等、高信号が約1/3ずつを占めるが、T₂強調像では大部分が高信号を呈する。またダイナミックMRIでは動脈優位相から早期濃染が認められる（図7）。

MRIの他の利点は肝細胞癌内部の組織学的

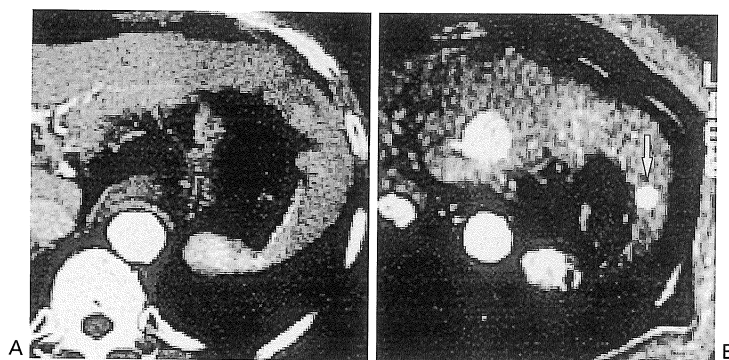


図5. 小肝細胞癌（肝硬変例）
ダイナミックCT(A)では外側区域の結節は同定できないが、ダイナミックMRI(B)では明瞭に早期濃染を示す結節が描出されている。

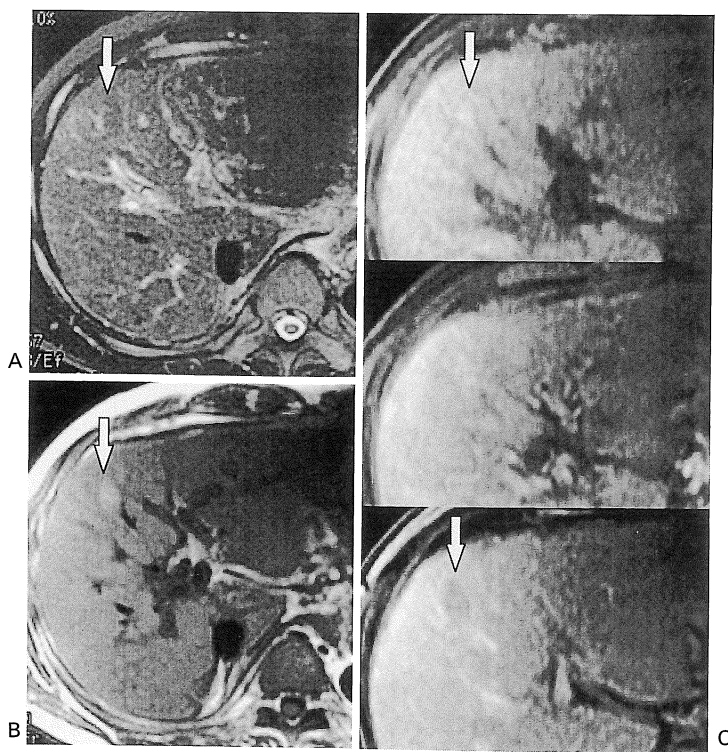


図6. 腺腫様過形成 (AH)
肝左葉内側区域の結節はT₂強調像(A)では低信号、T₁強調像(B)では高信号を呈する(矢印)。ダイナミックMRI(C)の早期相(動脈優位相)では濃染を示さず、後期相(平衡相)では低信号を呈する(矢印)。本例のごとくMRIは肝細胞癌の組織学的悪性度の推定に役立つ。

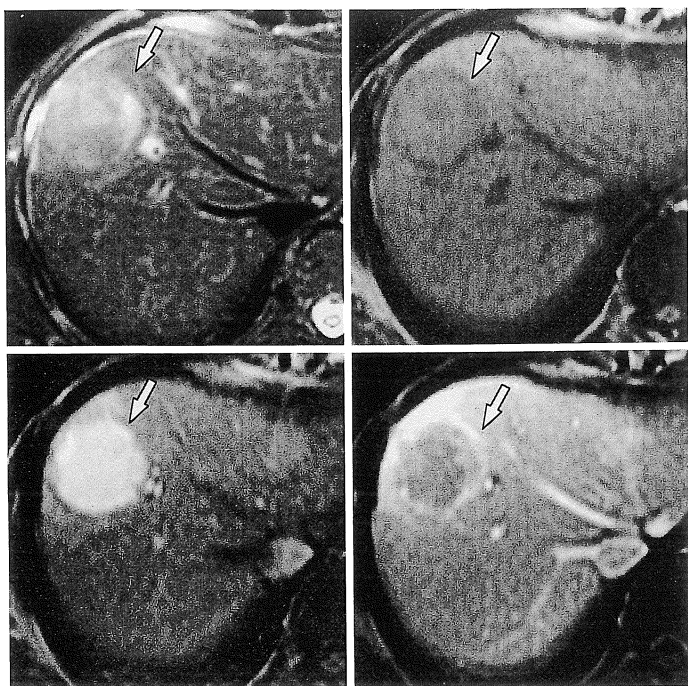


図 7. 古典的肝細胞癌

右葉 S8 の腫瘍は T_2 強調像 (A) でモザイク状の高信号, T_1 強調像 (SPGR) (B) ではやや低信号を呈し、被膜と考えられる低信号のリング状構造を伴う。ダイナミック MRI の早期相 (C) では著明に濃染し、後期相 (D) では濃染が消失して被膜部がリング状に濃染している。

A	B
C	D

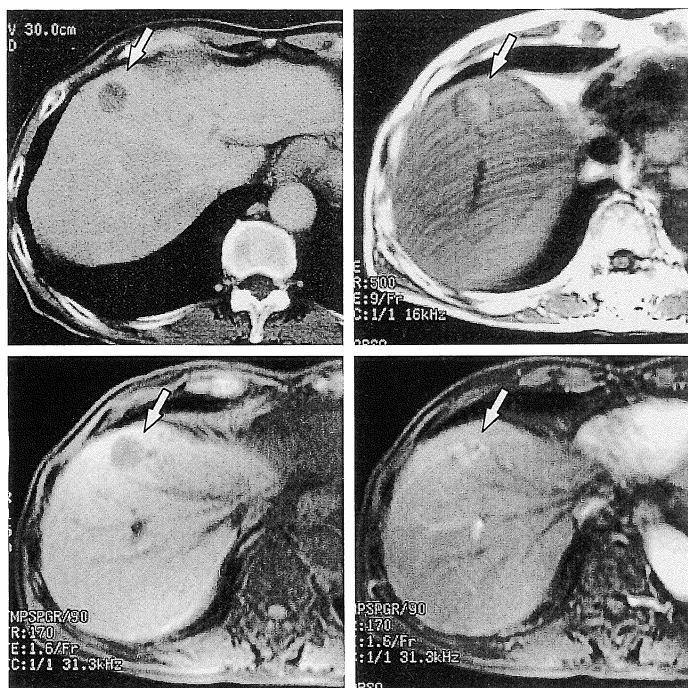


図 8. 脂肪化肝細胞癌

造影 CT (A) では S4 の結節はかなり濃度が低く、囊胞と誤認する恐れもある (矢印)。 T_1 強調像 (B) では高信号を示し、ダイナミック MRI の造影前の脂肪抑制併用の T_1 強調像 (SPGR) (C) では信号が低下しており、脂肪を含有する結節であることが分かる (矢印)。また造影早期相 (D) では結節は濃染している (矢印)。脂肪抑制を併用することで造影剤投与により脂肪を含む腫瘍の信号が低下する paradoxical suppression の影響も排除できる。

A	B
C	D

性状（脂肪、出血、凝固壊死、線維化）の評価が容易となることである¹⁵⁾。肝細胞癌内の脂肪はスピノエコー法の T₁ 強調像や SPGR 法の in phase (TE=4.4 ms) では高信号を示すが、SPGR 法の opposed phase (TE=2.2 ms) や脂肪抑制法併用の T₁ 強調像ないし SPGR 法では信号が抑制されるので容易に診断できる（図 8）。腫瘍内の古い凝固壊死巣は T₂ 強調像では低信号を示し、ダイナミック MRI では濃染されない¹⁶⁾。また硬化型肝細胞癌ないし混合型肝細胞癌に認められる腫瘍内の線維性間質はダイナミック MRI の早期相では濃染されず、10 分 (delayed image) から数時間後 (ultra delayed image) の T₁ 強調像で遅延性に濃染されることで判定できる。

また Lipiodol を使用した肝動脈塞栓術 (TAE)

後の効果判定にも MRI は有用である。ダイナミック CT では Lipiodol によるアーチファクトにより肝細胞癌の辺縁部再発の評価が困難なことがあるが、ダイナミック MRI では Lipiodol の影響が少ないので再発の診断も容易に可能となる（図 9）^{15), 17)}。逆に Lipiodol の集積の程度や石灰化については自明のごとく CT の方が容易に評価できる。以上により肝細胞癌の診断もほぼ MRI のみでも十分と考えられる。

4) 肝転移

肝転移も CT と比較して MRI の方が高い検出率を示す。特に脂肪抑制法を併用した高速スピノエコー法 (FSE) の検出率が高い（図 10）。乳癌術後や脾癌術後の患者では脂肪肝を合併することが多いので、場合によっては CT では転移巣が周囲脂肪肝により高吸収域として同定可

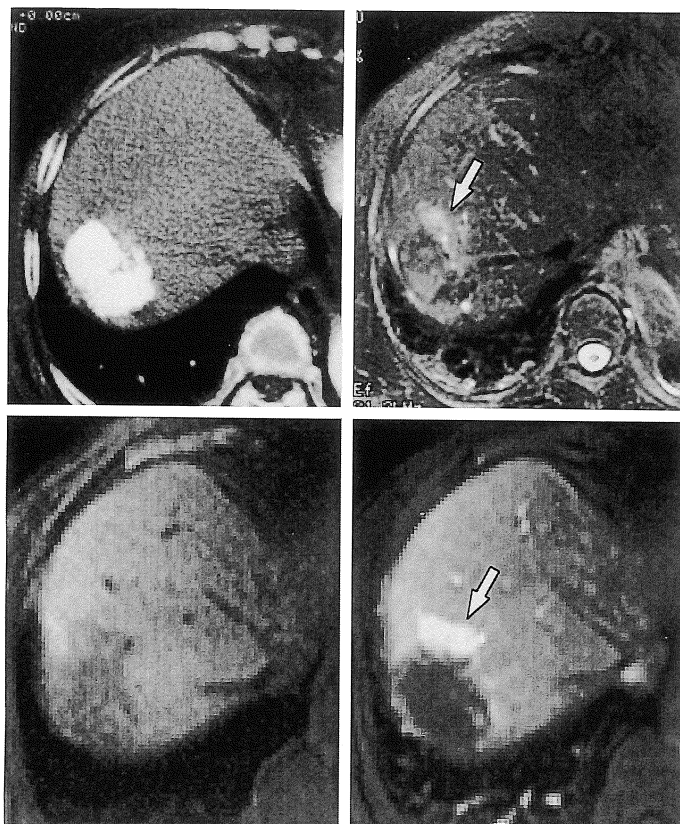


図 9. 肝細胞癌 (Lipiodol TAE 後の局所再発)

以前 Lipiodol TAE が施行された右葉 (S8) の肝細胞癌はダイナミック CT (A) では Lipiodol によるアーチファクトのために腫瘍辺縁部の濃染の評価が困難である。T₂ 強調像 (B) では腫瘍は低信号と高信号が混在しているが、辺縁部に高信号域 (矢印) を認める。ダイナミック MRI では T₂ 強調像の高信号域に一致して早期濃染を認める (D, 矢印)。

能な症例もあるが、周囲肝と等吸収となり検出できないことが多い。また多発性結節性脂肪肝はCT上肝転移と誤認される危険もある（図

11）。MRIでは脂肪抑制法併用のT₂強調像やSPGR法のopposed phaseが鑑別に有用である。腎癌やカルチノイドなどの多血性肝転移の

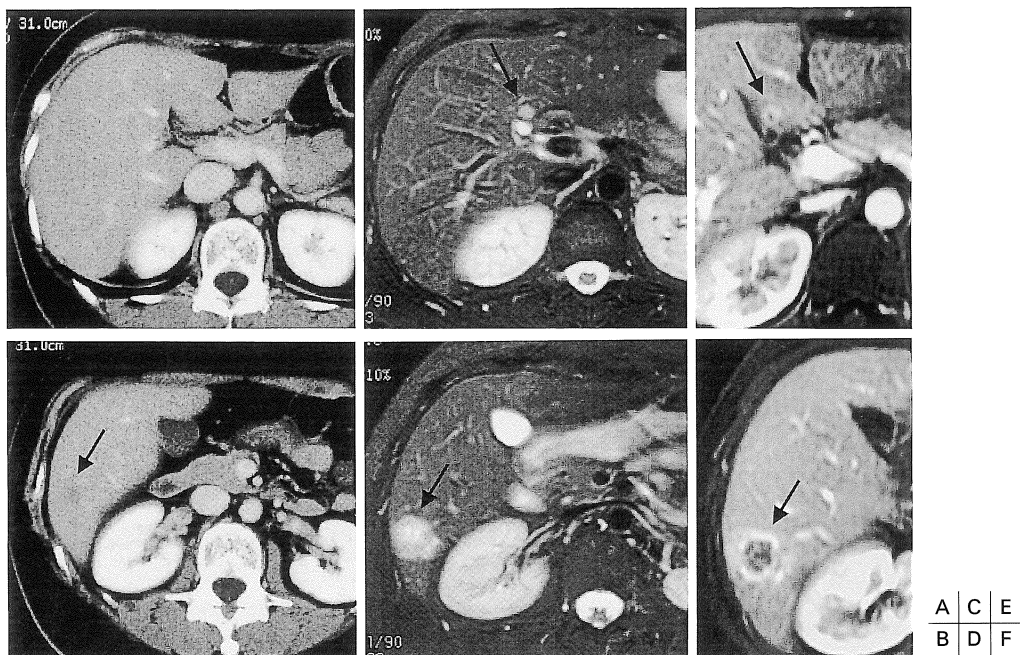


図 10. 大腸癌肝転移

S4とS6の肝転移は造影CT(A, B)ではS6の結節がかろうじて同定できるのみである(矢印)。T₂強調像(C, D)では高信号を示し、ダイナミックMRI早期相(E, F)ではリング状濃染を示す転移巣が明瞭に指摘できる。

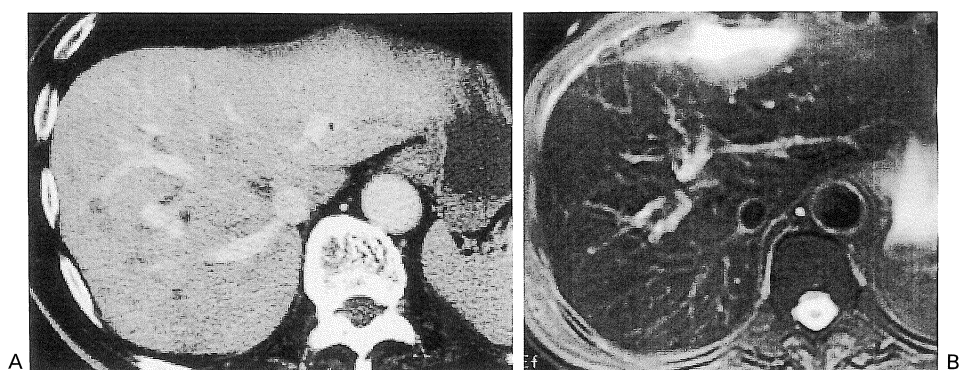


図 11. 多発性結節性脂肪肝(肝門部胆管癌例)

造影CT(A)では肝内に多発性の低吸収域を認め、肝転移が疑われた。しかし、脂肪抑制法併用のT₂強調像(B)では腫瘍は全く同定できず、多発性脂肪沈着であった。

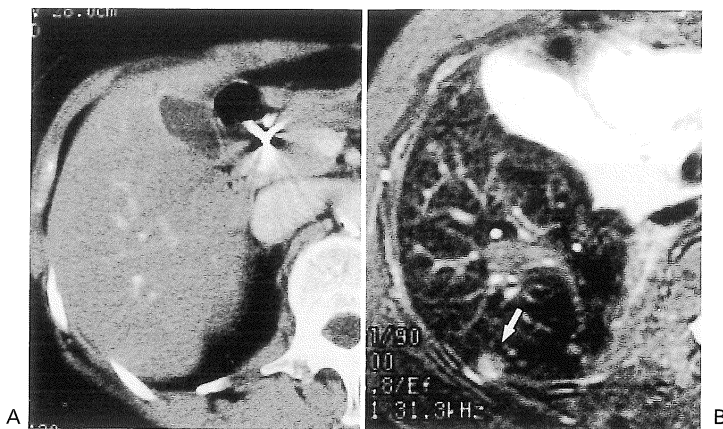


図 12. 乳癌肝転移（脂肪肝例）
脂肪肝のために造影 CT (A) では S6 の肝転移は指摘できないが、Feridex 投与後の T₂ 強調像 (B) では容易に指摘できる (矢印).

診断にはダイナミック MRI が有用である。最近認可された超常磁性体酸化鉄の造影剤 (Feridex) 投与により小さな肝転移の検出能の向上が期待されている (図 12)¹⁸.

胆道系の MRI 診断

腹部の MRI で最も進歩を遂げた領域である。特に MRCP (magnetic resonance cholangio-pancreatography) の画質の向上はめざましいものがある。現在では half Fourier 法を組み合わせた FSE 法 (GE : SSFSE 法, Siemens : HASTE 法, 東芝 : FASE 法) が普及している。MRCP 像を得る方法には multiple thin slice (3~5 mm) の heavily T₂-weighted images から, MIP 处理により投影画像を得る方法と 5 cm 程度の厚みの範囲を一回のスキャンで撮像する single thick slice 法がある^{19,20}。Single thick slice 法では約 2 秒間の呼吸停止下に撮像できるので非常に簡便である。我々は MRCP に関しては single thick slice 法のみを施行している。MRCP は胆管・脾管の全体像の把握や閉塞部より上流の導管の状態の観察には優れているが、実際の病気の診断精度という点では ERCP に取って代わられるほどの診断能は現時点では得られていない。我々はこの MRCP の最大の弱点を補うために half Fou-

rier 法を併用した FSE 法である SSFSE 法を使い TE を 90 ms 程度にすることで T₂ 強調像を撮像して実際の診断に応用している。本法は 1 スライスを約 1 秒で撮像できるので、呼吸停止あるいは呼吸同期下にぶれのない鮮明な画像を helical CT を撮るような感覚で得ることができる。本法は TR が非常に長いために MRCP と同様に液体を含む胆嚢、胆管、脾管などを極めて鮮明に描画することができる²¹。また、胆嚢の向きや胆道の走行にあわせていろいろな方向からの多断面の画像が 10 数秒間で撮像できる。任意の断面の画像が短時間に得られるという点は CT と比較すると最大の利点である。我々は MRCP と SSFSE 法による T₂ 強調像を胆道系疾患に応用してきた。今回は CT と比較して MR の利点について述べたい。

1) 胆道結石

胆嚢並びに胆管内の結石については石灰化を有するものは CT でも容易に診断可能である。しかし石灰化のないコレステロール結石やビリルビン結石では CT で描出することは困難となる。超音波は結石の診断能は高いが、胆嚢頸部や胆管あるいは総胆管末端部の結石では見逃される場合も多い。MRI では一般に結石は T₁ 強調像では低信号ないし高信号、T₂ 強調像では低信号を呈する。したがって高信号を示す胆嚢や胆管内に defect として容易に描出可能

である。しかし、MRCP は投影画像であるので比較的小さな胆囊内結石は胆汁の高信号内に埋没して描出できないことも多い。それに対して SSFSE 法での T₂ 強調像は 5 mm 程度の薄い断面で撮像しているので小さな結石も低信号の defect として検出できる（図 13）。ただし胆囊と異なり総胆管の場合は胆管径が細いので、総胆管結石では MRCP と SSFSE T₂ 強調像の検出能はほぼ同等である。SSFSE T₂ 強調像の利点は結石の診断のみならず、胆囊や胆管

の壁の肥厚の程度も把握できることである（図 14）。

2) 胆道系腫瘍

胆囊癌や胆管癌は、限局性あるいはびまん性の壁の肥厚や乳頭状腫瘍として描出されることが多い。したがって腫瘍の検出には、我々は 3 mm 程度のスライス厚で FOV を小さくした高分解能ダイナミック CT と造影後 CT を第一選択としている。本法は小さな胆囊癌や胆管癌の検出には非常に有用である。MRI はスライ

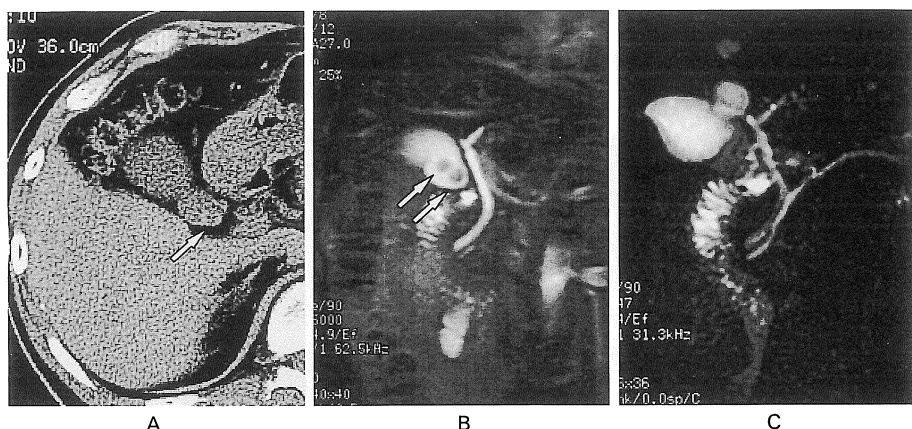


図 13. 胆石症

単純 CT (A) では胆囊頸部に 1 個のわずかにリング状の石灰化を示す結石の存在が疑われる（矢印）。SSFSE T₂ 強調像 (TE=90 ms) (B) では低信号を示す 2 個の結石が明瞭に描出されている。SSFSE 法による MRCP (single-shot) (C) では頸部の結石は描出できない。

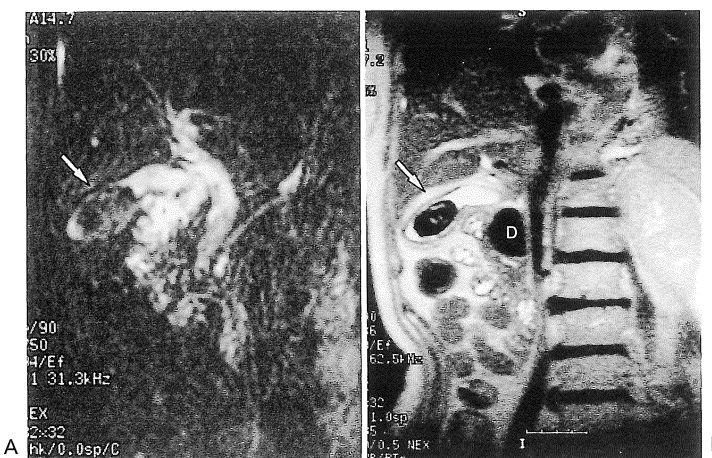


図 14. 急性胆石胆囊炎

MRCP (SSFSE, single thick slice) (A) では胆囊内の大きな結石の診断は可能である。SSFSE T₂ 強調像 (oblique sagittal 像) (B) では結石（矢印）に加えて、胆囊壁の肥厚の程度も評価できる。また十二指腸憩室 (D) も描出されている。術前の情報としては MRCP よりも SSFSE T₂ 強調像が優れている。

ス厚を薄くしてFOVを小さくすると極めてS/Nが悪い画像となってしまうので5mm程度が限界である。胆道系腫瘍に対してはMRCPと多方向のSSFSE T₂強調像画像をまず撮像して、腫瘍の進展度が一番把握しやすい方向でダイナミックMRIを行って評価している。高分解能ダイナミックCTとMRIを比較することは難しいが、現時点での我々の経験からは腫瘍の検出はCTが優れていると思われるが、腫瘍の胆道系に沿った進展の評価はMRIが優れていると考えている(図15)²²。したがって、両者を併用することが現時点ではベストであろう。リンパ節転移と脈管浸潤の診断は

高分解能ダイナミックCTが有用である。また我々が腹部のMRI撮影時にルチーンに施行している脂肪抑制併用のFSE T₂強調像はリンパ節転移並びに肝転移の診断に有用である。

以上、まとめると胆道系結石の診断にはMRIのみでも十分であるが、胆道系腫瘍は高分解能ダイナミックCTとMRI(SSFSE T₂強調像、MRCP、ダイナミックMRI)の併用が有用である。

3) 脾疾患

我々の施設で脾疾患が疑われる場合には高分解能ダイナミックCTを必ず施行している。脾はMRIが有用な臓器の一つである。特に

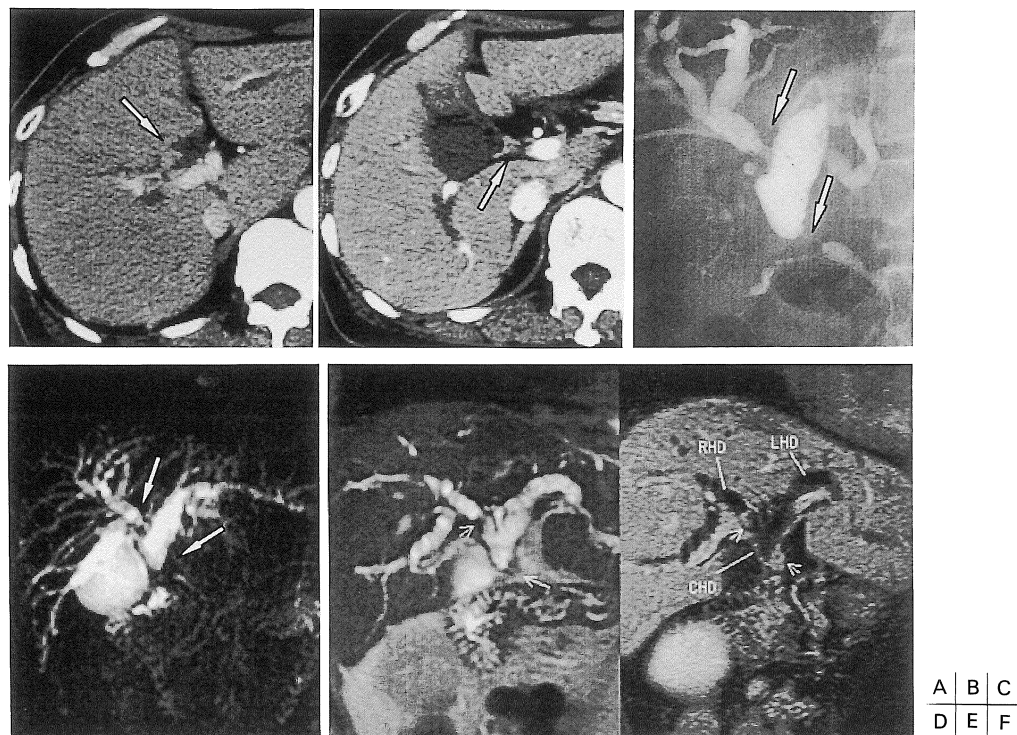


図15. 肝門部胆管癌

高分解能ダイナミックCT(A, B)(3mmスライス, 1.5mm再構成)では肝門部と三管合流部付近の2箇所の胆管に造影で濃染される腫瘍性病変を認める(矢印)。ERCP(C)並びにMRCP(D)では総肝管と右肝内胆管根部に狭窄を認める(矢印)。Oblique coronalの断面のSSFSE T₂強調像(E)では矢印で示した右肝内胆管根部と総肝管に隆起性病変を認め、ダイナミックMRI(F)の後期相では濃染している。CTと比較してMRIは胆管の走行に一致した断面が得られるので、病変の広がり診断には有用性が高い。

MRCP は ERCP では得られない主胰管の閉塞部の上流の情報を与えてくれる点で有用性が高い。欠点は石灰化が評価できない点と空間分解能が CT にはかなわない点である。したがって、脾も CT と MRI を組み合わせると精度の高い画像診断が可能となる。

4) 急性脾炎

急性脾炎の診断は CT でほぼ可能である。炎症の広がりや偽嚢胞の有無、脾壊死の有無は造影検査を併用することで確実に診断できる。

MRI では脂肪抑制併用 FSE T₂ 強調像は脾実質の炎症性浮腫の程度や出血、壊死の有無の判定には有用である（図 16）。また脾炎に伴う偽嚢胞については MRCP や SSFSE T₂ 強調像で明瞭に描出できる。

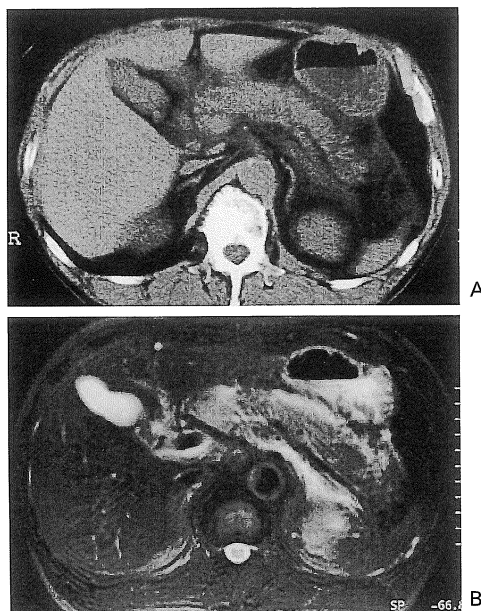


図 16. 急性脾炎

単純 CT (A) では脾体部の腫大と辺縁部の不明瞭化並びに脾周囲の滲出液貯留が見られ、急性脾炎の診断は容易である。T₂ 強調像 (FSE, 脂肪抑制) (B) では脾周囲の液体貯留が明瞭に認められる。脾体部は腫大し、信号強度も高くなっていることより浮腫の存在を疑うことができる。

5) 慢性脾炎

CT では脾の萎縮や脾管拡張あるいは脾石の診断は容易である。しかし脾の線維化の程度は X 線吸収値からは判定困難である。それに対し、MRI の脂肪抑制併用 T₁ 強調像では正常脾は肝と比較しても著明な高信号を呈するので、脾の実質の信号の低下で線維化の程度がある程度推測可能である²³⁾。また線維化の強い部位はダイナミック MRI での濃染も不良となる。

6) 脾癌

脾癌も高分解能ダイナミック CT は小さな脾癌の検出や脈管浸潤の診断、リンパ節転移の診断には有用性が高い。MRI は MRCP や SSFSE T₂ 強調像で脾管の狭窄の程度や尾側脾管の状態が容易に把握できる（図 17）。またダイナミック MRI により小脾癌の検出能もほぼ CT に匹敵する。MRI では脾癌の尾側に認められる随伴性慢性脾炎の診断が T₁ 強調像や脂肪抑制法併用 T₁ 強調像での信号低下により容易に診断可能である。また腫瘍周囲の随伴性脾炎が著明な症例ではダイナミック CT で腫瘍と脾炎部のコントラストが不良となる傾向が見られるので、濃度分解能に優れたダイナミック MRI が両者の識別には有用である²⁴⁾。

7) 脾囊胞性腫瘍

粘液産生性脾腫瘍（主脾管型、分枝型）は主脾管や脾管分枝が拡張し内腔に粘液が見られる疾患である。小嚢胞の検出や嚢胞と主脾管との交通などの評価では MRCP²⁵⁾ や SSFSE T₂ 強調像が CT に比べて有用性が高い。嚢胞内の乳頭状腫瘍の診断にはダイナミック CT やダイナミック MRI が必要である。漿液性嚢胞腺腫も CT ではときに充実性脾腫瘍と誤認することがあるが、MRI では多胞性の嚢胞性腫瘍であることが比較的簡単に T₂ 強調像で診断可能である（図 18）。

以上、脾疾患も嚢胞性病変は MRI が優れているが、炎症や充実性腫瘍の診断は CT と MRI は相補的な役割を果たすと考えられる。

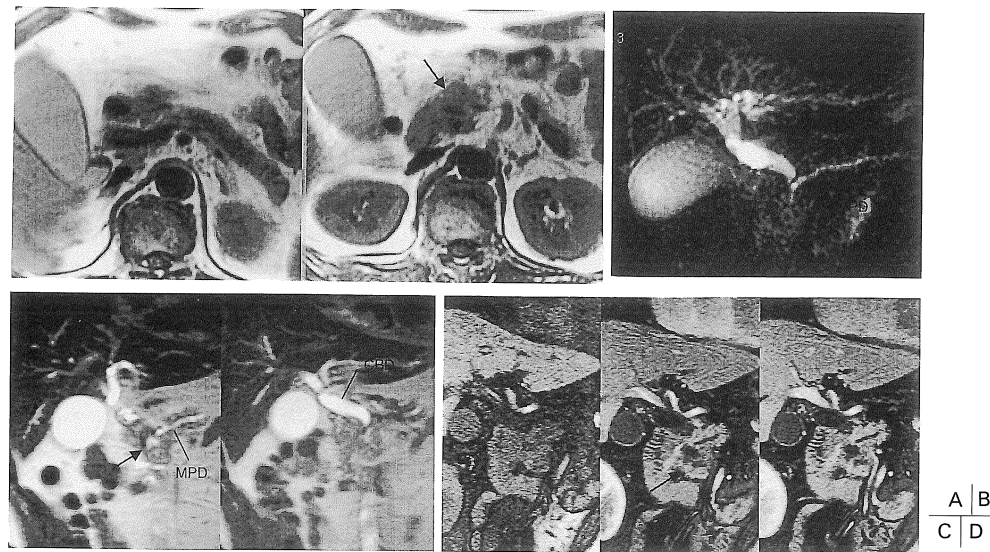


図 17. 膵頭部癌

T_1 強調像 (A) では胰頭部の腫瘍 (矢印) は低信号を示すが、腫瘍周囲から胰体尾部全体の随伴性胰炎に伴う信号低下のために、腫瘍部のコントラストが低下している。MECP (SSFSE, single slice) (B) では総胆管 (CBD) と主胰管 (MPD) が拡張し、胰頭部で狭窄している。Oblique coronal で撮像した SSFSE T_2 強調像 (C) では内部に囊胞変性を含む腫瘍 (矢印) により総胆管 (CBD) と主胰管 (MPD) が狭窄をしている。Oblique coronal の断面で撮像した高分解能ダイナミック MRI (D) では胰頭部の腫瘍は乏血性腫瘍として明瞭に指摘できる (矢印)。

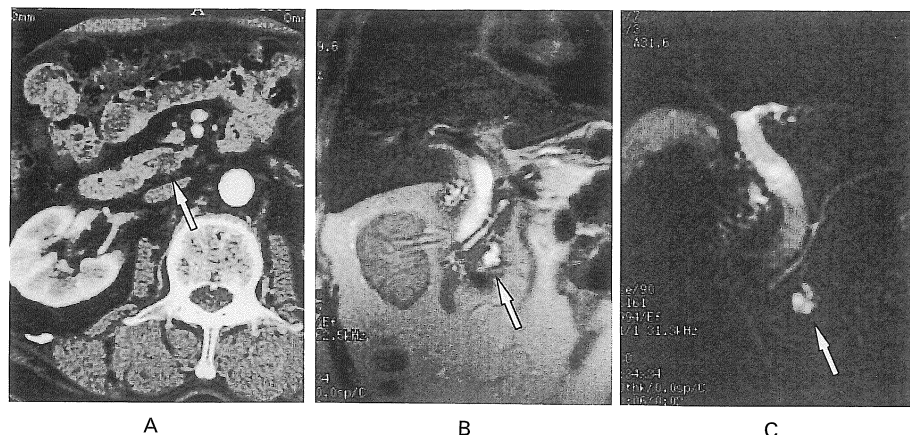


図 18. 分枝型粘液産生性胰腫瘍 (ductectatic type mucin producing tumor)

ダイナミック CT (A) では胰鉤部に小さな囊胞性病変を認める (矢印)。SSFSE T_2 強調像 (B) 並びに MRCP (SSFSE, single-shot) (C) では多房性の囊胞性病変であることが容易に診断可能である (矢印)。

ま と め

肝胆膵に関して CT と MRI の比較から現時点での MRI 診断の位置付けについて述べてきたが、最近の高性能の高磁場装置が導入されている施設では MRI が第一選択になる、あるいは MRI のみでも診断可能な疾患が多くなってきているのは事実である。本論文が肝胆膵の診断に際し、MRI の適応を決める上で参考になれば有り難い。

文 献

- 1) Catasca J, Morowitz SA : Fast spin echo T₂-weighted MR imaging of the abdomen : fast spin-echo vs conventional spin-echo sequence. AJR 1994 ; 162 : 61-67
- 2) Mitchell DG : Fast MR imaging techniques : impact in the abdomen. JMRI 1966 ; 6 : 812-821
- 3) Kim TK, Lee HJ, Jang HJ, Kim AY, et al. : T₂-weighted breath-hold MRI of the liver at 1.0 T : comparison of turbo spin-echo and HASTE sequences with and without fat suppression. JMRI 1988 ; 8 : 1213-1218
- 4) Coates GG, Borrello JA, Mcfarland EG, et al. : Hepatic T₂-weighted MRI : prospective comparison of sequences, including breath-hold, half-Fourier turbo spin echo (HASTE). JMRI 1988 ; 8 : 642-649
- 5) Rofsky NM, Weinreb JC, Ambrosino MM, Safir J, Krinsky G : Comparison between in-phase and opposed phase T₁-weighted breath-hold FLASH sequences for hepatic imaging. J Comput Assist Tomogr 1996 ; 20 : 230-235
- 6) Martin J, Sentis M, Puig J, et al. : Comparison of in-phase and opposed-phase GRE and SE MR pulse sequences in T₁-weighted imaging of liver lesions. J Comput Assist Tomogr 1996 ; 20 : 890-897
- 7) Mitchell DG, Stopen AH, Siegelman ES, Boliner L, Outwater EK : Fatty tissue on opposed-phase MR images : paradoxical suppression of signal intensity by paramagnetic contrast agents. Radiology 1997 ; 198 : 351-357
- 8) Semellka RC, Brown ED, Ascher SM, et al. : Hepatic hemangiomas : multi-institutional study of appearance on T₂-weighted and serial gadolinium-enhanced gradient-echo MR images. Radiology 1994 ; 192 : 401-406
- 9) Outwater EK, Ito K, Siegelman E, et al. : Rapidly enhancing hepatic hemangiomas at MRI : distinction from malignancies with T₂-weighted images. JMRI 1997 ; 7 : 1033-1039
- 10) Giovagnoni A, Paci E, Valeri G, et al. : MRI characterization of focal liver lesions : comparison of T₂ weighting by conventional spin-echo and turbo-spin echo sequences. JMRI 1966 ; 6 : 589-595
- 11) Ito K, Mitchell DG, Outwater EK, Fujita T, Awaya H, Matsumoto T, Matsunaga N : Hepatic lesions : discrimination of nonsolid, benign lesions from solid, malignant lesions with heavily T₂-weighted fast spin-echo MR imaging. Radiology 1997 ; 204 : 729-737
- 12) McFarland EG, Mayo-Smith WW, Saini S, Hahn PF, Goldberg MA, Lee MJ : Hepatic hemangiomas and malignant tumors : improved differentiation with heavily T₂-weighted conventional spin-echo MR imaging. Radiology 1994 ; 193 : 43-47
- 13) Yamashita Y, Mitsuzaki Y, Yi T, Ogata I, Nishiharu T, Urata J, Takahashi M : Small hepatocellular carcinoma in patients with chronic liver damage : prospective comparison of detection with dynamic MR imaging and helical CT of the whole liver. Radiology 1996 ; 200 : 79-84
- 14) Matsui O, Kadoya M, Kameyama T, et al. : Benign and malignant nodules in the cirrhotic livers. Distinction based on blood supply. Radiology 1991 ; 178 : 493-497
- 15) Kadoya M, Matsui O, Takashima T, Nonomura A : Hepatocellular carcinoma : correlation of MR imaging and histopathologic findings. Radiology 1992 ; 183 : 819-825
- 16) 蒲田敏文, 松井 修, 角谷真澄, 吉川 淳, 高島 力 : MR を用いた TAE 療法の効果判定. 腹部画像診断 1993 ; 9 : 744-752
- 17) Murakami T, Nakamura H, Hori S, et al. : Detection of variable tumor cells in hepatocellular carcinoma following transcatheter arterial chemo-

- embolization with iodized oil : pathologic correlation with dynamic turbo-FLASH MR imaging. *Acta Radiol* 1993 ; 34 : 399-403
- 18) Seneterre E, Taourel P, Bouvier Y, et al. : Detection of hepatic metastases : ferumoxides-enhanced MR imaging versus unenhanced MR imaging and CT during arterial portography. *Radiology* 1996 ; 200 : 785-792
- 19) Miyazaki T, Yamashita Y, Tsuchigame T, et al. : Magnetic resonance cholangiopancreatography using HASTE (half-Fourier acquisition single-shot turbo spin-echo) sequence. *AJR* 1996 ; 166 : 1297-1303
- 20) Ernst O, Calvo M, Sergent G, Mizrahi D, Carpenter F : Breath-hold MR cholangiopancreatography using a HASTE sequence : comparison of single-slice and multislice acquisition techniques. *AJR* 1997 ; 169 : 1304-1306
- 21) 角谷眞澄, 蒲田敏文, 松井修, 川森康博, 高島力, 松浦幸広, 倉田雄一, 河原和博 : SSFSE 法による MRCP と T₂ 強調像の比較検討—撮像条件と描出能を中心に—. *日本臨床* 1988 ; 56 : 96-101
- 22) Fulcher AS, Turner MA : HASTE MR cholangiography in the evaluation of hilar cholangiocarcinoma. *AJR* 1997 ; 169 : 1501-1505
- 23) Semelka RC, Shoenut JP, Kroeker MA, Miclukier AB : Chronic pancreatitis : MR imaging feature before and after administration of gadopenetate dimeglumine. *JMRI* 1993 ; 3 : 79-82
- 24) Gabata T, Matsui O, Kadoya M, Yoshikawa J, Miyayama S, Takashima T, et al. : Small pancreatic adenocarcinomas : efficacy of MR imaging with fat suppression and gadolinium enhancement. *Radiology* 1994 ; 193 : 683-688
- 25) Koito K, Namieno T, Ichimura T, Yama N, Hareyama M, Morita K, et al. : Mucin-producing pancreatic tumors : comparison of MR cholangiopancreatography with endoscopic retrograde cholangiopancreatography. *Radiology* 1998 ; 208 : 231-237

MR Imaging and CT in Diagnosis of the Hepatic and Pancreaticobiliary Diseases

Toshifumi GABATA, Masumi KADOYA, Osamu MATSUI

*Department of Radiology, Kanazawa University, School of Medicine
13-1, Takara-machi, Kanazawa-shi, Ishikawa 920-8641*

We evaluate the usefulness of MR imaging in the diagnosis of hepatic and pancreaticobiliary diseases. Combination of fat suppressed fast spin echo T₂-weighted images and dynamic MR imaging has higher detectability of hepatic tumors such as cyst, hemangioma, metastasis, and hepatocellular carcinoma than that of CT. MR imaging also can prefer the histopathologic changes such as hemorrhage, fatty metamorphosis, cystic degeneration, coagulative necrosis, and fibrosis. Though hepatic tumors in the case of fatty liver may be obscured on CT images, these will be clearly detected on fat suppressed T₂-weighted images, in phase and out of phase SPGR T₁-weighted images. MR imaging also can easily differentiate between the pseudolesions and the true hepatic tumors.

In the cases of pancreaticobiliary diseases, MRCP using single-shot fast spin echo (SSFSE) sequences and T₂-weighted images using SSFSE can provide unique information which cannot be obtained by CT. Therefore we recommend to use both MRI including MRCP and high resolution dynamic CT for the diagnosis of pancreaticobiliary tumors.